

三菱重工業(株) 正員。前田義裕
東北大学 正員 倉西茂

1. まえがき

鋼アーチ橋の終局強度解析を行なう場合、アーチの変形及び材料の塑性化による影響を考慮しなければならぬ。しかし、材料の塑性化を考慮するためには、かなり複雑な解析を必要とする。そこで、本研究では、アーチの終局強度と、変形の影響を考慮した弾性2次解析の結果から評価する方法について検討を行った。

2. 解析方法と本研究で検討を行ったモデル

終局強度解析では、材料の非線形性と幾何学的非線形性を考慮し、また弾性2次解析では、幾何学的非線形性を考慮した有限要素法による骨組解析を行った。

今回主に検討を行ったモデルは、Fig 1の上に示すような荷物線固定アーチで、非対称載荷を受けるものとした。断面は標準的な箱型断面とし、終局強度解析では残留応力を考慮した、また、固定アーチとしてより実用的である。端部の断面を増大させた変断面アーチ、及び端部に降伏応力度の高い鋼材を用いたハイアリッドアーチについても、検討を行った。また、Fig 1の下に示すような、補剛筋を有するアーチについても検討を行なった。このモデルは、Fig 1の上に示したものと同じ構造諸元をもつアーチリブに、標準的なI型断面の補剛筋を取り付けたもので、補剛比 μ を0.5とした。

3. 固定アーチの挙動と、終局強度評価法

非対称な荷重の載荷により、2ビンジアーチでは、2つの1/4点が塑性化して崩壊に至るに対し、固定アーチでは、2つの固定端及び、2つの5/16L点付近の点の4点が塑性化して崩壊に至る。Fig 2には、固定アーチで大きな断面力が生じるこの4点の緯応力度の変化を示す。図中の $\bar{\sigma}$ は終局荷重である。この図に見られるとおりに、両固定端は、載荷荷重がかなり小さいうちに塑性化し、この部分が塑性化しても、ただちにアーチ全体の崩壊には至っていない。

このような固定アーチの終局状態へ至るまでの挙動を考慮し、弾性2次解析の結果から終局強度を評価する方法として、前述の4点の緯応力度に着目し、これら4点中3点で、緯応力度が降伏応力度以上となる時、これをもって終局強度と評価することとする。大部分のモデルで、特にアーチに生じている軸力が大きい程、大き目の評価を得る。そこで、この終局状態と評価した時に、アーチに生じている軸力の平均を、降伏軸力を無次元化した値（以下これを $\bar{\alpha}$ とする）を用いて、次頁の補正式を用いる。これは、弾性2次解析で終局荷重を載荷した時、先に終局状態を評価する基準とした3点目の緯応力（以下 σ_{cr} とおく）と $\bar{\alpha}$ の関係が、Fig 3のようになっていたことから採用した。この $\bar{\alpha}$ と σ_{cr} の関係を、図中の曲線に近似した。この補正により、先の3点目の緯応力度が、降伏応力度ではなく σ_{cr} に達した時を、終局状

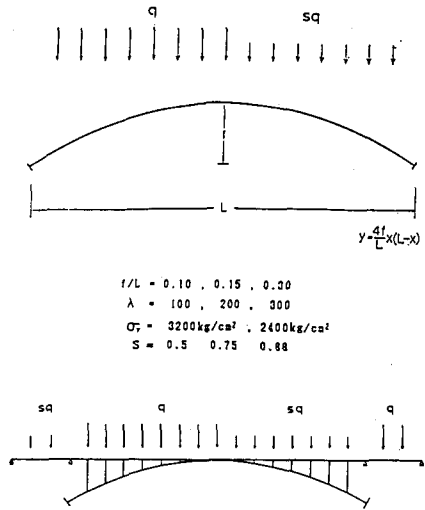


Fig. 1 解析モデル

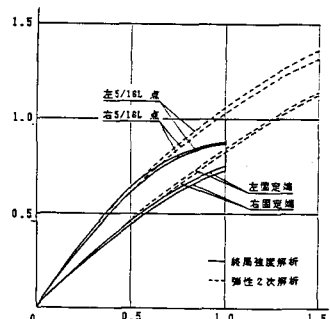


Fig. 2 着目点の緯応力度

態とする。さらに、 \bar{N} がTable 2に示す値より小さい場合は、この補正を行わなくとも、終局強度よりも小さい評価値が得られるので、補正の必要はないものとした。

また、この評価法では、かなり大きい終局強度の評価を与えてしまうものがある。それは、荷重が等分布に近い $S = 0.88$ のモデルで、生じる軸力が非常に大きいものである。これは、軸力により、断面全体に大きな左端たわみが生じていて、弾性2次解析で考慮されない非線形性の影響を大きく受けてしまうためと考えられる。そこで、弾性2次解析で、1点または2点の繊維力が降伏応力に達した時点でも、軸力 \bar{N} が Table 3 に示す値よりも大きければ、この時点でアーチは終局状態に至っているものと考えられこの時の \bar{N} の値を用いて先の補正を行うものとした。

以上の終局強度評価法により評価した固定アーチの終局強度は、実際の終局強度と比較すると、2例程大きい評価を与えるものもあるが、その他では、2~4倍大きい値から8~10倍程度小さい値の範囲で得られている。評価値と実際の終局強度の比較を、 $\sigma_y = 3200 \text{ kg/cm}^2$, $t/e = 0.15$ を例にとり、Table 4 に示す。なお、荷重はアーチの各節点に同じ大きさの集中荷重を載荷した時に、スプリッティングが軸力のみで降伏するような鉛直荷重 $8N$ で無次元化して示している。

また、この評価法を、変断面アーチ及びハイブリッドアーチに適用したところ、等断面アーチとはほぼ同じような精度で、終局強度の評価を行なうことができた。

4. 種々のアーチの弾性2次解析の結果による終局強度評価法

さらに、Fig 1 の下に示した補削析を有するアーチについて、ここまで示してきた終局強度評価法の適用を検討した。このようないアーチでは、曲げにより、補削析の一端にも大きな繊維力が生じるものもあるが、本研究では、アーチリフア上で大きな断面力が生じる4点に着目し、先に示した方法で終局強度の評価を行なった。この結果、得られた終局強度評価値は、一部細長比の小さいモデルで実際の終局強度より10%以上小さな値となるが、その他のモデルでは、先の無補削アーチと同様、設計の基準としては、よい精度で終局強度の評価を行うことができるようである。

以上から、本研究で検討した弾性2次解析の結果による終局強度の評価法では、固定アーチでは広い範囲で、設計の基準としてはよい精度で終局強度の評価を行なうことができた。

また、倉西により、2ヒンジアーチについて、本研究同様、弾性2次解析の結果から終局強度を評価する方法の検討が行なわれ、弾性2次解析で、アーチリフア上の1点の繊維力が降伏応力に達した荷重と、実際の終局荷重の比較が行なわれている。これをTable 5 に示す。2ヒンジアーチに比べ、固定アーチでは、この表中の誤差が大きくなるため補正式を用いたが、このように、弾性2次解析の結果からアーチの終局強度を評価する方法は、終局強度設計を行なう際、十分有効であると考えられる。

補正式

$$\sigma_{cr} = \sigma_y \left[1 - (\beta \cdot N)^2 \right]$$

Table.1

	1.24	2.48	3.73
λ	0.32	0.40	1.00
N	0.70	0.40	0.20

Table.2

	1.24	2.48	3.73
λ	0.70	0.40	0.20
N	0.80	0.80	0.80

Table.3

	1.24	2.48	3.73
λ	0.80	0.80	0.80
N	0.80	0.80	0.80

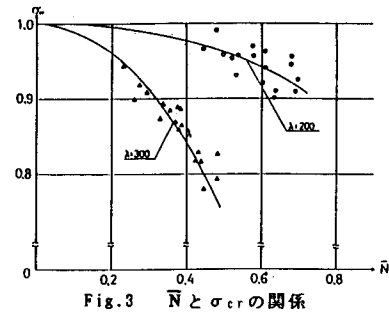


Fig.3 \bar{N} と σ_{cr} の関係

Table.4

等断面アーチの終局強度と終局強度評価値

細長比 λ	荷重係数 S	終局強度		誤差 (%)
		評価値	算定値	
100	0.50	0.775	0.717	-7.2
	0.75	0.848	0.838	-1.2
	0.93	0.893	0.893	0.0
200	0.50	0.454	0.451	-0.6
	0.75	0.559	0.559	0.0
	0.93	0.650	0.667	+2.6
300	0.50	0.279	0.280	+0.4
	0.75	0.355	0.355	0.0
	0.93	0.417	0.419	+0.6

Table.5

2ヒンジアーチの終局強度と弾性2次解析により応力が降伏点に達する荷重の比較

細長比 λ	荷重係数 S	終局強度		誤差 (%)
		弾性2次解析	算定値	
197	0.99	0.570	0.624	+9.5
	0.50	0.312	0.287	-7.8
247	0.99	0.415	0.442	+6.4
	0.50	0.229	0.223	-3.0
296	0.99	0.300	0.312	+3.9
	0.50	0.175	0.177	-1.3